

УДК 621.372.852

А.С. Лимонов, к.т.н., Б.В. Перельгин, к.т.н., Т.М. Пустовит, асс., А.А. Лимонов, соискатель к.т.н.

Одесский государственный экологический университет

## НЕЛИНЕЙНАЯ ОБРАБОТКА ЦИФРОВЫХ СИГНАЛОВ ГИДРОМЕТЕОРОЛОГИЧЕСКОЙ ИНФОРМАЦИИ НА ОСНОВЕ ФУНКЦИОНАЛЬНЫХ РЯДОВ И ПОЛИНОМОВ ВОЛЬТЕРРЫ

*В статье исследуются возможность нелинейной обработки цифровых сигналов гидрометеорологической информации на основе функциональных рядов и полиномов Вольтерры. Ключевые слова: нелинейная обработка, цифровая информация, ряд, полином, Вольтерра.*

**Введение.** Нелинейные дискретные системы используются в компьютерной цифровой обработке гидрометеорологической информации. Недостаточно рассмотренными являются вопросы, связанные с теорией нелинейной обработки на основе функциональных рядов и полиномов Вольтерры [1, 2, 3, 4].

**Материалы и метод исследования:** в статье исследуются временная и  $Z$ -форма операторного уравнения на основе функциональных рядов и полиномов Вольтерры.

**Цель статьи:** исследование возможностей нелинейной обработки цифровых сигналов гидрометеорологической информации на основе функциональных рядов и полиномов Вольтерры.

**Изложение основного материала. Операторное уравнение нелинейной дискретной системы.**

В данной статье рассматриваются различные формы операторных уравнений на основе функциональных рядов полинома Вольтерры.

**Операторное уравнение нелинейной дискретной системы.** При воздействии на нелинейную дискретную систему сигналов множества  $X$  (рис.1,а) выходные сигналы системы образуют множество  $y^0$ , соотношение между которым описывает оператор  $F_s$

$$y^0(n) = F_s[x(n)],$$

где  $F_s$  каждому воздействию  $x(n)$  из множества  $X$  ставит в соответствие только одну реакцию  $y^0(n)$  из множества  $Y^0$ . Для построения нелинейного оператора системы введем следующее предложение:

- из множества воздействий  $X$  сформировано подмножество испытательных сигналов  $X_\varepsilon = \{x_q(n)\}_{q=1}^Q$ ,  $X_\varepsilon \subset X$ , а из множества реакций  $Y^0$  - соответствующее подмножество  $Y_\varepsilon^0 = \{y_q^0(n)\}_{q=1}^Q$ ,  $Y_\varepsilon^0 \subset Y^0$ , измеренных или вычисленных выходных сигналов системы;

- нелинейная дискретная система имеет свойство непрерывности, то есть реакции системы на сигналы, отличные от испытательных, но принадлежащие заданному классу воздействий ( $x(n) \in X$ ), мало отличаются от реакций на соответствующие испытательные сигналы.

При таких предположениях оператор  $F_\varepsilon$ , описывающийся с точностью  $\delta_\varepsilon$  однозначное соотношение между подмножествами  $X_\varepsilon$  и  $Y_\varepsilon^0$  (рис.1, б)

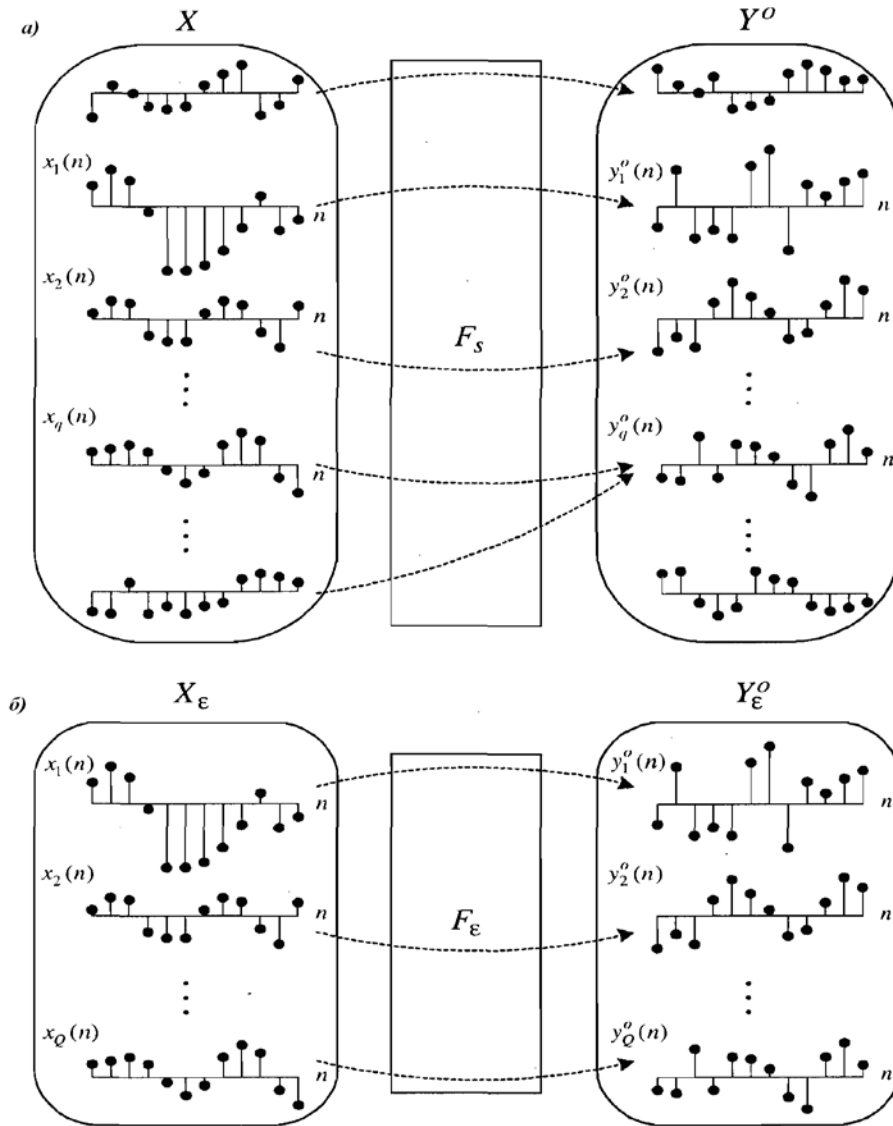


Рис. 1 - Схематическое отображение действий операторов  $F(a)$  и  $F_\varepsilon(a)$ .

$$\|y_q^0(n) - y_q(n)\| \leq \delta_\varepsilon \text{ для всех } x_q(n) \in X_\varepsilon, y_q^0(n) \in Y_\varepsilon^0,$$

где  $y_q(n) = F_\varepsilon[x_q(n)]$ , устанавливает соотношение между множествами  $X$  и  $Y^0$ , то-  
есть

$$\|y^0(n) - y(n)\| \leq \delta_\varepsilon \text{ для всех } x(n) \in X, y^0(n) \in Y^0, \quad (1)$$

где  $y(n) = F_\varepsilon[x(n)]$  - реакция системы на входные сигналы  $x(n)$ .

Неравенство (1) означает, что нелинейная дискретная система (с оператором  $F_s$ ) описана нелинейным оператором  $F_\varepsilon$  на заданном классе входных сигналов с точностью  $\delta_\varepsilon$ , а оператор  $F_\varepsilon$  находится аппроксимирует оператор  $F_s$ .

Параметры нелинейного оператора  $F_\varepsilon$  находятся при решении задачи аппроксимации

$$\max_{x_q(n) \in X_\varepsilon} \|y_q^0(n) - F_\varepsilon[x_q(n)]\| \rightarrow \min_{\bar{c}} \quad (2)$$

где  $\bar{c}$  - вектор параметров оператора  $F_\varepsilon$ .

По свойству непрерывности системы решение задачи (2) (вектор  $\bar{c}$ ) является оптимальным решением более общей задачи аппроксимации

$$\max_{x(n) \in X_\varepsilon} \|y^0(n) - F_\varepsilon[x(n)]\| \rightarrow \min_{\bar{c}}$$

Для описания нормы погрешности аппроксимации на практике используют - равномерную метрику ( $\tilde{N}$ )

$$\|y^0(n) - F_\varepsilon[x(n)]\| = \max_{x(n) \in X} |y^0(n) - F_\varepsilon[x(n)]|;$$

- среднеквадратичную метрику (L)

$$\|y^0(n) - F_\varepsilon[x(n)]\| = \frac{1}{G} \sum_{g=1}^G (y_g^0(n) - F_\varepsilon[x_g(n)])^2.$$

Математическое представление нелинейного оператора  $F_\varepsilon$  - это математическая модель нелинейной системы, а соотношение

$$y(n) = F_\varepsilon[x(n)] \quad (3)$$

- операторное уравнение системы.

Существуют несколько универсальных математических форм представления нелинейного оператора  $F_\varepsilon$ . К ним относятся:

- функциональные ряды и полиномы Вольтерры [1, 2, 3, 4];
- ряды и полиномы Вольтерры-Пикара [2];
- полиномы расщепленных сигналов [5];
- нелинейные авторегрессионные разностные уравнения [1, 6];
- нейронные цепи [6].

Данные математические модели системы (кроме нейронных цепей) содержат линейно-входящие параметры, поэтому задача аппроксимации (2) имеет единственное решение по критерию выбранной метрики.

В рамках метода «черного ящика» (математическая модель нелинейной системы строится на множествах входных сигналов) соотношение вход/выход будем формировать с помощью единого математического аппарата функциональных рядов и полиномов Вольтерры.

**Временная форма операторного уравнения нелинейной системы.** Соотношение вход/выход нелинейной дискретной системы во временной области можно описать в виде сходящегося функционального ряда Вольтерры

$$y(n) = \sum_{k=0}^{\infty} H_k[x(n)] = \sum_{k=0}^{\infty} \sum_{m_1=0}^{\infty} \sum_{m_2=0}^{\infty} \dots \sum_{m_k=0}^{\infty} h_k(m_1, m_2, \dots, m_k) \prod_{r=1}^k x(n-m_r),$$

где

$$H_k[x(n)] = \sum_{m_1=0}^{\infty} \sum_{m_2=0}^{\infty} \sum_{m_3=0}^{\infty} \dots \sum_{m_k=0}^{\infty} h_k(m_1, \dots, m_k) \prod_{r=1}^k x(n-m_r). \quad (4)$$

Многомерная сумма  $H_k[x(n)]$  - это однородный функционал степени  $k$ .

Многомерная функция  $h_k(\tau_1, \tau_2, \dots, \tau_k)$  - это ядро Вольтерры порядка  $k$ . При  $k=0$  функционал нулевой степени является константой  $h_0$ . При  $k=1$  выражение (3) представляет собой линейную свертку, определяющую линейную подсистему с импульсной характеристикой  $h(n)$ .

При  $k > 1$  свертка (3) нелинейна относительно входного сигнала - это нелинейная свертка порядка  $k$ . Такая свертка определяет нелинейную подсистему порядка  $k$  с ядром  $h_k(m_1, m_2, \dots, m_k)$  - это многомерная импульсная характеристика порядка  $k$ .

Ядра Вольтерры можно симметризовать положив их равными [2]

$$\frac{1}{k!} \sum h_k(m_1, m_2, \dots, m_k), \left( \frac{1}{k!} \sum h_k(\tau_1, \tau_2, \dots, \tau_k) \right),$$

где сумма вычисляется по всем перестановкам аргументов  $\tau_1, \tau_2, \dots, \tau_k$  ( $m_1, m_2, \dots, m_k$ ).

Отрезок функционального ряда Вольтерры дает приближенное аналитическое представление реакции системы через ее параметры и воздействие. Установленная зависимость универсальна в том смысле, что справедлива при любых воздействиях, лишь бы их амплитуды обеспечивали сходимость ряда Вольтерры. Условие сходимости ряда Вольтерры выполняется при малых амплитудах воздействия, когда режим работы системы слабонелинейный.

В режиме существенной нелинейности, когда функциональный ряд Вольтерры расходится, соотношение вход/выход может быть описано функциональным полиномом Вольтерры степени  $L$  в дискретной области

$$y(n) = \sum_{k=0}^L [x(n)] = \sum_{k=0}^L \sum_{m_1=0}^{\infty} \sum_{m_2=0}^{\infty} \dots \sum_{m_k=0}^{\infty} h_k(m_1, m_2, \dots, m_k) \prod_{r=1}^k x(n-m_r). \quad (5)$$

Принципиально такая возможность следует из теоремы Фреше [5].

Здесь полином и отрезок ряда Вольтерры имеют одинаковую математическую форму записи, но их параметры - ядра Вольтерры - различны.

Дальнейшее преобразования будут выполняться с функциональным полиномом Вольтерры.

**Описание нелинейной дискретной системы в  $Z$  - области.** Для описания нелинейной дискретной системы в области  $Z$  - изображений используется многомерное  $Z$  - преобразование.  $Z$  - изображение многомерной дискретной последовательности  $f(n_1, n_2, \dots, n_x)$  - это аналитическая функция  $F(z_1, z_2, \dots, z_k)$  комплексных переменных  $z_1, z_2, \dots, z_k$ , формируемая многомерной суммой

$$F(z_1, z_2, \dots, z_k) = \sum_{n_1=0}^{\infty} \sum_{n_2=0}^{\infty} \dots \sum_{n_k=0}^{\infty} f(n_1, n_2, \dots, n_k) z_1^{-n_1} z_2^{-n_2} \dots z_k^{-n_k}. \quad (6)$$

Для оригинала  $f(n_1, n_2, \dots, n_k)$  предполагается:  $f(n_1, n_2, \dots, n_k) = 0$  при отрицательных значениях аргументов  $n_r, r = 1, 2, \dots, k$ .

При условии  $|f(n_1, n_2, \dots, n_k)| < M \prod_{r=1}^k R_r^{n_r}$  где  $M > 0$ ,  $R_r > 0$ ,  $r = 1, 2, \dots, k$ , множеств  $|z_r| > R_r$ ,  $r = 1, 2, \dots, k$  (область вне поликруга с радиусом  $R_r$ ), то есть

$$D = \bigcap_{r=1}^k \{z : |z_r| > R_r\}.$$

**Обратное многомерное преобразование:**

$$f(n_1, n_2, \dots, n_k) = \left[ \frac{1}{2\pi j} \right]^k \int_{|z_k|=R_k} \dots \int_{|z_2|=R_2} \int_{|z_1|=R_1} F(z_1, z_2, \dots, z_k) \prod_{r=1}^k z_r^{n_r-1} dz_r. \quad (7)$$

Уравнение, устанавливающее соответствия между множествами входных и выходных сигналов нелинейной дискретной системы в  $Z$  – области, получим в результате следующих преобразований:

1. Составим входной сигнал системы из реакции подсистем разного порядка

$$y(n) = \sum_{k=0}^L y_k(n) = \sum_{k=0}^L H_k[x(n)], \quad (8)$$

где  $y_k(n)$  - реакция подсистемы  $k$  - го порядка.

Функционал  $H_k[x(n)]$  определяется по формуле (4).

2. Представим многомерную функцию  $y_k(n_1, n_2, \dots, n_k)$  дискретной сверткой

$$y_k(n_1, n_2, \dots, n_k) = \sum_{m_1=0}^{\infty} \sum_{m_2=0}^{\infty} \dots \sum_{m_k=0}^{\infty} h_k(m_1, m_2, \dots, m_k) \prod_{r=1}^k x(n_r - m_r). \quad (9)$$

В  $Z$  – области (9) имеет вид [1, 2]:

$$Y_k(z_1, z_2, \dots, z_k) = H_k(z_1, z_2, \dots, z_k) \prod_{r=1}^k X(z_r), \quad (10)$$

где  $Y_k(z_1, z_2, \dots, z_k)$ ,  $H_k(z_1, z_2, \dots, z_k)$  - многомерные  $Z$ -изображения функции  $y_k(m_1, m_2, \dots, m_k)$  и импульсной характеристики  $h_k(m_1, m_2, \dots, m_k)$   $k$ -го порядка,  $X(z_r)$  -  $z$ - изображения сигнала  $x(n_r)$ .

3. Перейдем к одной переменной в комплексной форме [4]:

Полагая в формуле обратного многомерного  $Z$  – преобразования (7)  $n_1 = n_2 = \dots = n_k$ , получим

$$y_k(n) = y_k(\underbrace{n, n, \dots, n}_k) = \left( \frac{1}{2\pi j} \right)^k \int_{C_k} \dots \int_{C_2} \int_{C_1} Y_k(z_1, z_2, \dots, z_k) \prod_{r=1}^k z_r^{n-1} dz_r, \quad (11)$$

где  $C_r$  - окружность с радиусом  $|z_r| = R_r$ ,  $r = 1, 2, \dots, k$ .

Обозначим  $z = \prod_{r=1}^k z_r$  и выразим через  $z$  переменную  $z_k$ :

$$z_k = z / \prod_{r=1}^{k-1} z_r.$$

Так как  $|z| = \prod_{r=1}^k |z_r|$ , область аналитичности функции  $Y_k \left( z_1, z_2, \dots, z / \prod_{r=1}^{k-1} z_r \right)$  по переменной  $z$  будет  $|z| = \prod_{r=1}^k |R_r|$ . Обозначим окружность с радиусом  $|z| = R > \prod_{r=1}^k |R_r|$  через  $C$ , тогда (11) представится как:

$$y_k(n) = \left[ \frac{1}{2\pi j} \right]^k \int_c \dots \int_{c_{k-1}} \dots \int_{c_2} \int_{c_1} Y_k \left[ z_1, z_2, \dots, z_{k-1}, \frac{z}{\prod_{r=1}^{k-1} z_r} \right] \frac{z^{n-1} dz}{\prod_{r=1}^{k-1} z_r} \prod_{r=1}^{k-1} dz_r.$$

Это выражение представляет собой обратное  $Z$  – преобразование функции

$$Y_k(z) = \left[ \frac{1}{2\pi j} \right]^{k-1} \int_{c_{k-1}} \dots \int_{c_2} \int_{c_1} y_k \left[ z_1, z_2, \dots, z_{k-1}, \frac{z}{\prod_{r=1}^{k-1} z_r} \right] \prod_{r=1}^{k-1} \frac{dz_r}{z_r}, \quad (12)$$

зависящей только от переменной  $z$ .

С учетом (8) выражения (12) имеем вид

$$Y_k(z) = \left[ \frac{1}{2\pi j} \right]^{k-1} \int_{c_{k-1}} \dots \int_{c_2} \int_{c_1} H_k \left[ z_1, z_2, \dots, z_{k-1}, \frac{z}{\prod_{r=1}^{k-1} z_r} \right] x \left[ \frac{z}{\prod_{r=1}^{k-1} z_r} \right] \prod_{r=1}^{k-1} x(z_r) \frac{dz}{z_r}. \quad (13)$$

Выражение (13) – это  $Z$  – изображение выходного сигнала системы определяется суммой  $Z$  – изображений нелинейных составляющих разного порядка

$$Y(z) = \sum_{k=0}^L Y_k(z),$$

где  $Y_k(z)$  - выражение (13).

**Построение нелинейного оператора во временной области.** Построение нелинейного оператора системы в форме функционального полинома Вольтерры состоит в нахождении параметров полинома (ядра Вольтерры) путем решения задачи аппроксимации с использованием метода наилучшего квадратичного приближения.

Построение выполним на классе стационарных случайных сигналов.

Пусть известны два множества сигналов:

-  $X_\varepsilon = \left\{ x_q(n) \right\}_{q=1}^Q$  - множество реализаций длины  $N(n \in [0, N-1])$  случайного стационарного входного сигнала системы (множество испытательных сигналов);

-  $Y_{\varepsilon}^0 = \{y_q^0(n)\}_{q=1}^Q$  - множество реализаций длины  $N(n \in [0, N-1])$

соответствующего случайного стационарного выходного сигнала системы.

При построении нелинейного оператора решается задача аппроксимации

$$\max_{x_q(n) \in X_{\varepsilon}} \|y_q^0(n) - F_{\varepsilon}[x_q(n)]\| \rightarrow \min_{\bar{h}}, \quad (14)$$

где оператор  $F_{\varepsilon}[x_q(n)]$  - функциональный полином Вольтерры

$$F_{\varepsilon}[x_q(n)] = y_q(n) = \sum_{k=0}^L \sum_{m_1=0}^{N-1} \sum_{m_2=0}^{N-1} \dots \sum_{m_k=0}^{N-1} h_k(m_1, m_2, \dots, m_k) \prod_{r=1}^k x_q(n-m_r), \quad (15)$$

вектор  $\bar{h}$  содержит многомерные характеристики системы входящие в выражение (15).

В полиноме Вольтерры (15) переменные  $m_1, m_2, \dots, m_k$  меняются в диапазоне  $(0, N-1)$  в силу конечного размера памяти системы.

Решением (14) является вектор  $\bar{h}$ ; это решение является оптимальным для более общей задачи аппроксимации:

$$\max_{x(n) \in X} \|y^0(n) - F_{\varepsilon}[x(n)]\| \rightarrow \min_{\bar{h}}, \quad (16)$$

где  $X_{\varepsilon}$  - подмножество множества воздействий  $X (X_{\varepsilon} \subset X)$ ;  $y^0(n)$  - реакция системы на входной сигнал  $x(n) (y^0(n) \in Y^0)$ ; оператор  $F_{\varepsilon}[x(n)]$  имеет форму полинома Вольтерры

$$F_{\varepsilon}[x(n)] = y(n) = \sum_{k=0}^L \sum_{m_1=0}^{N-1} \sum_{m_2=0}^{N-1} \dots \sum_{m_k=0}^{N-1} h_k(m_1, m_2, \dots, m_k) \prod_{r=1}^k x(n-m_r). \quad (17)$$

Согласно (16) надо построить такой функциональный полином, чтобы процессы  $y^0(n)$  и  $y(n)$  оказались близкими по критерию минимума среднеквадратического отклонения сигнала  $y(n)$  от  $y^0(n)$

$$E[\varepsilon^2(n)] \rightarrow \min_{\bar{h}},$$

где  $\varepsilon(n) = y^0(n) - y(n)$  - ошибка;  $E[\varepsilon^2(n)] = \frac{1}{G} \sum_{g=1}^G (y_g^0(n) - y_g(n))^2$  - оператор дисперсии.

Параметры полинома Вольтерры определим по ортогональному методу Эйкхоффа [2].

Согласно этому методу условие ортогональности ошибки  $\varepsilon(n)$ , входного сигнала и возможных его произведений дают следующую систему уравнений

$$\begin{cases} E[\{y^0(n) - y(n)\} x(n - m_1)] = 0; \\ E[\{y^0(n) - y(n)\} x(n - m_1) x(n - m_2)] = 0; \\ \vdots \\ E[\{y^0(n) - y(n)\} x(n - m_1) x(n - m_2) \dots x(n - m_L)] = 0 \end{cases}$$

для всех  $m_1 \in [0, N - 1], m_2 \in [0, N - 1], \dots, m_L \in [0, N - 1]$ .

С использованием нелинейного оператора (17) эта система уравнений относительно элементов вектора  $\bar{h}$  имеет вид

$$\sum_{k=0}^L \sum_{m_1=0}^{N-1} \sum_{m_2=0}^{N-1} \dots \sum_{m_k=0}^{N-1} h_k(m_1, m_2, \dots, m_k) E[\prod_{r=1}^k x(n - m_r) x(n - \delta_i)] = E[y^0(n) x(n - \delta_i)],$$

$$\sum_{k=0}^L \sum_{m_1=0}^{N-1} \sum_{m_2=0}^{N-1} \dots \sum_{m_k=0}^{N-1} h_k(m_1, m_2, \dots, m_k) E[\prod_{r=1}^{-k} x(n - m_r) \prod_{i=1}^2 x(n - \delta_i)] = E[y^0(n) \prod_{i=1}^2 x(n - \delta_i)],$$

$$\sum_{k=0}^L \sum_{m_1=0}^{N-1} \sum_{m_2=0}^{N-1} \dots \sum_{m_k=0}^{N-1} h_k(m_1, m_2, \dots, m_k) E[\prod_{r=1}^k x(n - m_r) \prod_{i=1}^L x(n - \delta_i)] = E[y^0(n) \prod_{i=1}^L x(n - \delta_i)]$$

для всех  $\sigma_i \in [0, N - 1]$ .

Решением этой системы являются ядра Вольтерры (элементы вектора  $\bar{h}$ ), оптимальные по среднеквадратичному критерию.

Используем метод Эйкхоффа для построения нелинейного оператора частотного детектора, который выделяет узкополосный центрированный гауссовский сигнал со средним квадратичным отклонением  $\sigma = 0,32$ , описываемый суммой

$$y^0(n) = \omega^0(n) = \sum_{k=1}^{\sigma} A_k \cos(2\pi k f_1 + \alpha_k),$$

где  $f_1 = 0,005$ ;  $T = 1/7$  - период дискретизации частотно-модулированного сигнала  $x(n) = \cos[2\pi n T + \varphi(n)]$ , в котором начальная фаза  $\varphi(n) \in [-200; 200]$  связана с мгновенной частотой  $\omega^0(n)$  оператором интегрирования.

**Решение.** Подмножество  $X_\varepsilon$  испытательных сигналов образовано из 40000 реализаций (длины  $N = 5$ ) входного сигнала  $x(n)$  при движении вдоль частотно-модулированного колебания с шагом в один такт. Подмножество  $Y_\varepsilon^0$  сформировано из соответствующих 40000 реализаций (длины  $N = 5$ ) выходного случайного сигнала  $\omega^0(n)$  детектора при движении вдоль данного сигнала с шагом в один такт.

Математическая модель детектора, построена на основе метода Эйкхоффа, имеет вид полинома Вольтерры второй степени:

$$\omega(n) = h_0 + \sum_{m_1=0}^4 \sum_{m_2=m_1}^4 h_2(m_1, m_2) x(n - m_1) x(n - m_2),$$



где  $h_0 = -0.8123$ ,  $h_2(0,0) = -0.0386$ ,  $h_2(0,1) = 0.1444$ ,  $h_2(0,2) = 0.1544$ ,  
 $h_2(0,3) = -0.0419$ ,  $h_2(0,4) = -0.3732$ ,  $h_2(1,1) = -0.4756$ ;  $h_2(1,2) = 0.5327$ ,  
 $h_2(1,3) = -0.2067$ ,  $h_2(1,4) = 0.8852$ ,  $h_2(2,2) = 0.0138$ ,  $h_2(2,3) = -0.3926$ ,  
 $h_2(2,4) = -2.0827$ ,  $h_2(3,3) = 1.7594$ ,  $h_2(3,4) = 0.1454$ ,  $h_2(4,4) = -0.0388$ .

Результат детектирования показан на рис. 2, где вместо дискретных отсчетов изображены огибающие сигналов.

На рис. 2 представлена последовательность (кривая 1) реализаций нормированных модулирующего колебания

$$y_n^0(n) = \omega_n^0(n) = \omega^0(n) / \max_{\omega_q^0(n) \in Y_{\varepsilon^0}} \max_{nT \in [0; 1/f_1]} |\omega_q^0(n)|,$$

и соответствующая (пунктир 2) последовательность реализации нормированного выходного сигнала

$$y_H(n) = \omega_H(n) = \omega(n) / \max_{\omega_q^0(n) \in Y_{\varepsilon^0}} \max_{nT \in [0; 1/f_1]} |\omega_q^0(n)|.$$

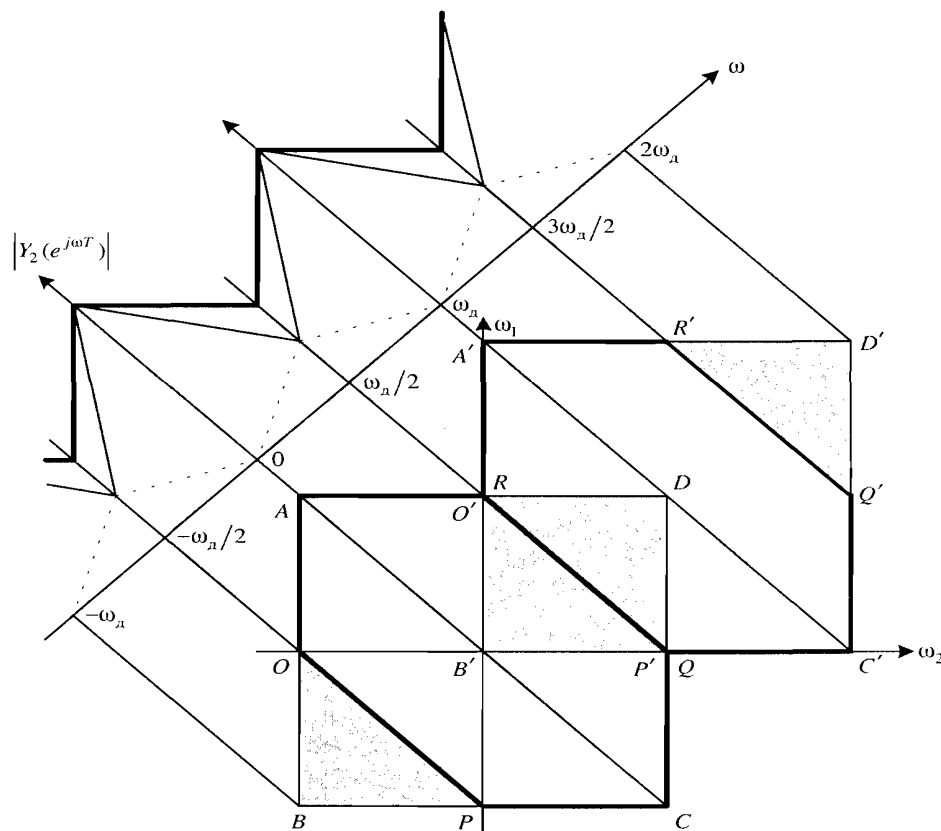


Рис. 2 – Формирование амплитудного спектра реакции подсистемы 2-го порядка.

На рис. 3 изображен график абсолютной погрешности детектирования

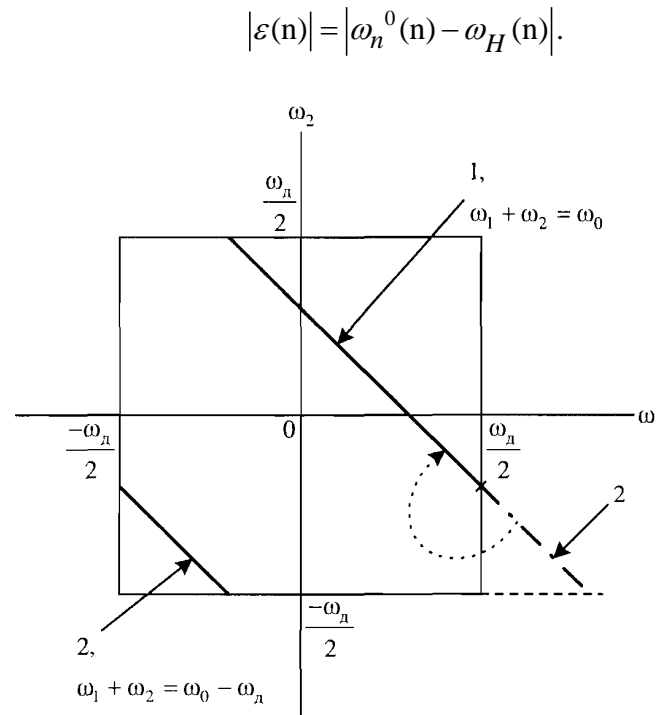


Рис. 3 – Результат наложения спектров реакции подсистемы 2-го порядка.

**Выводы.** В результате исследований приведен анализ условий сходимости рядов и функциональных полиномов Вольтерры при обработке нелинейных дискретных сигналов и систем с использованием многомерных последовательностей.

### Список литературы

1. Башарин С.А., Соловьева Е.Б. Моделирование и анализ нелинейных электрических цепей: Учеб. пособие. – СПб.: СПбГЭТУ, 1999.
2. Данилов Л. В. Ряды Вольтерры – Пикара в теории нелинейных электрических цепей. – М.: Радио и связь, 1987,
3. Данилов Л.В., Матханов П.Н., Филиппов Е.С. Теория нелинейных электрических цепей. – Л.: Энергоатомиздат, 1990.
4. Пупков П.А., Капалин В.И. Ющенко А.С. Функциональные ряды в теории нелинейных систем. – М.: Наука, 1976,
5. Ланнэ А.А. Нелинейные динамические системы: синтез, оптимизация. Идентификация. – Л.: ВАС, 1985.
6. Цыпкин Я.З. Информационная теория идентификации. – М.: Наука, 1995.

**Нелінійна обробка цифрових сигналів гідрометеорологічної інформації на основі функціональних рядів і поліномів Вольтерри.** Лимонов О.С., Перелыгин Б.В., Пустовит Т.М., Лимонов О.О.

*В статті досліджуються можливість нелінійної обробки цифрових сигналів гідрометеорологічної інформації на основі функціональних рядів і поліномів Вольтерри.*

**Ключові слова:** нелінійна обробка, цифрова інформація, ряд, поліном, Вольтерри.

**Hydrometeorological data nonlinear processing on functional rows and polynoms of Volterra base are researched.** Limonov A.S., Perelygin B.V., Pustovit T.M., Limonov A.A.

*In article abilities of nonlinear processing signals of hydrometeorology data on functional rows and polynoms of Volterra base are researched.*

**Key words:** nonlinear processing, data, row, polynom, Volterra.